

東京都立大学工学部 正負〇左 (1) 浩
" 正負 左 千 正 和

1. 緒言 一様管路内の層流時管内脈動水流 $U = U_0 \sin(\omega t)$ の速度、剪断応力の分布、自由脈動時の減衰特性等は、これまで度々測定されており、速度、剪断応力を直接測定した例は少ない。限界レイノルズ数を越す時の脈動水流 $U = U_0$ 、最近沢本、山野³⁾が熱線流速計による速度分布の測定に基づき、滑面乱流の壁面剪断応力 τ_w に関する結果を報告しているが、壁面剪断応力 τ_w より確実な測定方法が確立されなければ、滑面乱流の τ_w は、粗面乱流攻略の系図上にどうかと思われる。

筆者等は一様管路部 $l = 2\text{m}$ の半円形断面流 $l = 3\text{m}$ の運動方程式の断面応力分布が
1) 2断面の差圧水頭 ΔH , 2) 陸面剪断応力 τ_0 , 3) 断面平均変位 \bar{u} … の3式を用いて
得た結果を以下に示す。差圧計と水位計の空気的圧力を標準増倍率 $k = 5$ 準備工事も
 $\Delta H = 0.1$ 、陸面剪断応力 τ_0 を算定する式を試して、以下にその概要を述べる。

2. 運動方程式

曲線座標系 $(x^1 \sim x^3)$, base vector \vec{e}_i , dyadiccp $(\vec{e}_i \cdot \vec{e}_j)$, 応力テンソル $\sigma_{ij} = \vec{e}_i \cdot \vec{\tau} \cdot \vec{e}_j$
 運動方程式 1 次式 $\ddot{x}^i = \omega^i_j \dot{x}^j + f^i$ 。

$$\nabla \{ \mathbb{D}_{ij} \cdot (\mathbf{v}_j : \mathbf{v}'_j) \} = \nabla \mathbb{D}_{ij} \cdot (\mathbf{v}_j : \mathbf{v}'_j) + \mathbb{D}_{ij} \{ \mathbf{v}'_j (\nabla \mathbf{v}_j) + (\mathbf{v}_j \cdot \nabla) \mathbf{v}'_j \} \text{ 考慮丁種次式即變形至小3.}$$

$$\nabla \left\{ G_{ij} : \left(\frac{\partial}{\partial x_i} : \frac{\partial}{\partial x_j} \right) \right\} = u_1 \left[\frac{1}{h_1} \frac{\partial \tilde{G}_{11}}{\partial \tilde{x}_1} + \frac{1}{h_2} \frac{\partial \tilde{G}_{21}}{\partial \tilde{x}_1} + \frac{1}{h_3} \frac{\partial \tilde{G}_{31}}{\partial \tilde{x}_1} + \frac{1}{h_1 h_2 h_3} \left\{ \Omega_{11} \frac{2}{\partial \tilde{x}_1} (h_2 h_3) + \Omega_{12} \frac{2}{\partial \tilde{x}_1} (h_3 h_1) + \Omega_{13} \frac{2}{\partial \tilde{x}_1} (h_1 h_2) \right\} + \frac{\Omega_{12} \partial h_1}{h_1 h_2 \partial \tilde{x}_2} \right. \\ \left. + \frac{\Omega_{13} \partial h_1}{h_1 h_3 \partial \tilde{x}_3} - \frac{\Omega_{12} \partial h_2}{h_1 h_2 \partial \tilde{x}_3} - \frac{\Omega_{13} \partial h_2}{h_1 h_3 \partial \tilde{x}_2} \right] + u_2 \left[\frac{1}{h_1} \frac{\partial \tilde{G}_{12}}{\partial \tilde{x}_2} + \frac{1}{h_2} \frac{\partial \tilde{G}_{22}}{\partial \tilde{x}_2} + \frac{1}{h_3} \frac{\partial \tilde{G}_{32}}{\partial \tilde{x}_2} + \frac{1}{h_1 h_2 h_3} \left\{ \Omega_{12} \frac{2}{\partial \tilde{x}_2} (h_2 h_3) + \Omega_{22} \frac{2}{\partial \tilde{x}_2} (h_3 h_1) + \Omega_{32} \frac{2}{\partial \tilde{x}_2} (h_1 h_2) \right\} + \frac{\Omega_{23} \partial h_2}{h_2 h_3 \partial \tilde{x}_3} + \frac{\Omega_{32} \partial h_2}{h_2 h_1 \partial \tilde{x}_3} \right. \\ \left. - \frac{\Omega_{12} \partial h_3}{h_1 h_2 \partial \tilde{x}_3} - \frac{\Omega_{23} \partial h_3}{h_2 h_3 \partial \tilde{x}_2} \right] + u_3 \left[\frac{1}{h_1} \frac{\partial \tilde{G}_{13}}{\partial \tilde{x}_3} + \frac{1}{h_2} \frac{\partial \tilde{G}_{23}}{\partial \tilde{x}_3} + \frac{1}{h_3} \frac{\partial \tilde{G}_{33}}{\partial \tilde{x}_3} + \frac{1}{h_1 h_2 h_3} \left\{ \Omega_{13} \frac{2}{\partial \tilde{x}_3} (h_2 h_3) + \Omega_{23} \frac{2}{\partial \tilde{x}_3} (h_3 h_1) + \Omega_{33} \frac{2}{\partial \tilde{x}_3} (h_1 h_2) \right\} + \frac{\Omega_{23} \partial h_3}{h_2 h_3 \partial \tilde{x}_2} + \frac{\Omega_{33} \partial h_3}{h_2 h_1 \partial \tilde{x}_2} - \frac{\Omega_{13} \partial h_3}{h_1 h_2 \partial \tilde{x}_2} \right]$$

内筒座標 r, θ, z を用いて半径方向と半周方向の二種性を仮定した式は、半周方向の運動方程式は次式で表わされる。

運動方程 I = -\frac{3}{28} \left(\frac{p}{qg} + k \right) (t + \frac{3\pi}{4}) 表示一个简谐运动，其中振幅为 \frac{3\pi}{4}，周期为 2\pi，初相位为 \frac{\pi}{4}。

$$\frac{dV}{dt} = g I + \frac{2}{r_0} \cdot \frac{\tau_w}{g} \quad \text{但} \quad V \text{は断面平均流速}, \quad r_0: \text{管半径}, \quad \tau_w: \text{壁面剪断応力} \quad \dots (2.3)$$

角速度 ω の初期運動 $\frac{dV}{dt} = \frac{dV}{dt}$ は $i\omega V$, $V = i\omega t$ (t は時間平均値), $\frac{dV}{dt} = -\omega^2 t$ であるから
差圧測定区間長 l を乗じて $dH = -I(l)$ と置換すれば、次式が得られる。

断面平均変位 \bar{u} は管端の自由水面附近に設置した水位計の電気的圧力 p を得られ、一方 ΔH は差圧計圧力 p_1 下す Δp から差圧 Δp と変位 \bar{u} の各圧力 p 同一のスケール上 Δp と \bar{u} の圧力感度を調整した式(2.4)の圧力 p より差動型演算増幅器により演算される。

3. 測定上の諸問題

3-1. 層流時剪断应力の大きさの程度

半径 r_0 の一様管路部に平行して角速度 ω の軸方向運動流中に層流時剪断应力 τ_{xy} は、断面平均速度 V_m と (1) は、次式で表す。すなはち $\tau_{xy} = V_m(X) / \nu$ が第一種ベーセルの数 (すなはち n)。すなはち $X_0 = r_0 \sqrt{1 + \omega^2 / \nu^2}$ で ν は動粘性係数である。

$$\frac{\tau_{xy}}{\rho g} = - \frac{1}{X_0} \cdot \frac{J_1(X_0)}{J_2(X_0)} \cdot \frac{r_0 \omega^2}{g} \quad \dots \dots \dots \quad (3.1)$$

上式の大きさを自变量 $T = r_0 \sqrt{1 + \omega^2 / \nu^2}$ で表す。管の直徑 $2r_0 = 5 \text{ cm}$ 、時間 $T = 2.0 \text{ sec}$ 、 $\nu = 0.01 \text{ cm}^2/\text{sec}$ の程度で $(1) / X_0 = 44$ 。第一種ベーセルの数 n 減近展開公式を (1) ～ (2) 式 (3.1) は次式で表す。 $n = 1.3$ 。

$$2 \cdot \frac{l}{r_0} \cdot \frac{\tau_{xy}}{\rho g} \sim \frac{2}{l} \cdot \frac{\omega^2 l}{g} \cdot \frac{P_1 + Q_1}{P_2 + Q_2} \cdot e^{\frac{-x}{l}} \quad \dots \dots \dots \quad (3.2)$$

$$= 1 = P_m(2) = 1 - \frac{(4n^{1/2})^2 (4n^2 - 1)^2}{2! (82)^2} + \frac{(4n^{1/2})^2 (4n^2 - 3)^2 (4n^2 - 5)^2 (4n^2 - 7)^2}{4! (82)^4} \dots$$

$$Q_m(2) = \frac{4n^{1/2}}{1! 82} - \frac{(4n^{1/2})^2 (4n^2 - 3)^2 (4n^2 - 5)^2}{3! (82)^3} + \dots, \quad \frac{T}{r_0} = Y = |X_0| = r_0 \sqrt{\frac{\omega}{\nu}}$$

第一種 $P_m(2) \neq 1$ 、 $|Q_m(2)| \ll 1$ と考慮して (3.2) は、 $2 \cdot l / r_0$ 平均速度 \bar{V} と Y の大きさで $l = 1/m = 3T = \frac{2}{\nu} \frac{\omega^2 l}{g} = 0.0458$ となり、結果としての大きさは \bar{V} の約 4.6% となる。

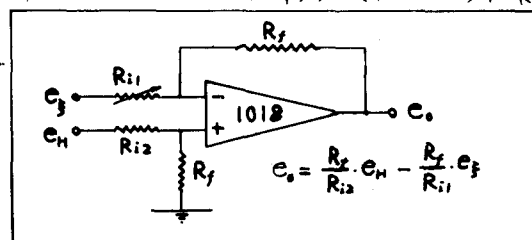
3-2. 便用計器と特性

便用計器は共和電業製 DPM-110A 動電計をベースにした差圧計は同社製 PD-100 GA で、 $\frac{T}{r_0}$ 水位変換器は平行線形 $70\% \sim 100\%$ を便用し、国司²⁾の方法によつて簡略化した。DPM-110A の増幅器は出力約 5 mV で (3.2) 完全には直線性を有し、せん断移動並びにトリートは 1 mV 程度で偏差等の範囲は満足している。また水位計の直線性も 1% を目標に製作した。上昇時と下降時と感度がやや変化する点を除いては、(3.2) の特性と一致する。

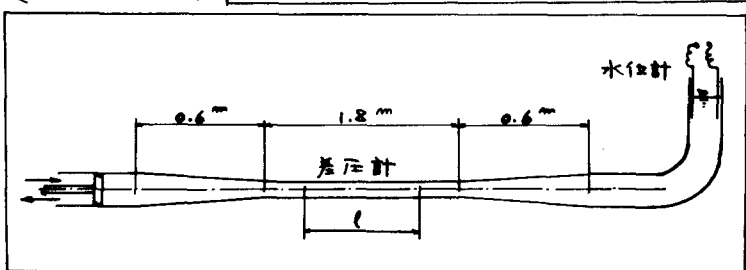
他方 (2.4) の右辺の演算式 (3.2) 演算増幅器にはフィルブリオフ・キットス (テレディン) 製 OPアンプ 1018 を用いた。 $R_{12} = R_{21} = R_f = 50 \text{ k}\Omega$ は、 $T = 1/T$ の出力端子とトリートは 1 mV 以下で充分便用できる。

3-3. その他諸問題

上記以外は、一様管路部への距離距離、差圧計の取り付ける精度等で問題となることがある。



(謝辞) 本研究は昭和5年
度文部省科学研究費(代表者: 田川清司
教授)によつて行われた。記念
1. 深く謝意を表します。



(参考文献)

- 1) 田川、山川“管内自由振動流の減衰特性に関する研究” 土木学会論文報告集 208号、1972.12月
- 2) 国司秀明“電気抵抗式液高計の設計法は?” 京大防災研報告 Vol. 1, 3, 1959
- 3) 沢木、白井“管内振動流の表面摩擦係数” 土木学会論文報告集 258号、1977年2月。